



سنگنگاری و کاربرد شیمی بلور در بررسی‌های ترمودینامیکی سنگ‌های دگرگونی، منطقه زرینه، جنوب قروه- کردستان

اشرف ترکیان^{*}، جواد ایزدیار^۲، زهرا رضوانی مکبر^۱، علی اصغر سپاهی^۱

۱- گروه زمین‌شناسی، دانشکده علوم پایه، دانشگاه بوعلی‌سینا، همدان

۲- گروه زمین‌شناسی، دانشکده علوم پایه، دانشگاه زنجان، زنجان

(دریافت مقاله: ۹۵/۹/۲۴؛ نسخه نهایی: ۹۶/۱/۱۵)

چکیده: محدوده دگرگونی مورد بررسی در جنوب قروه (منطقه زرینه)، در شمال غربی پهنه ستندج - سیرجان واقع است. توده ژرف جنوب قروه که مجموعه‌ای از سنگ‌های گرانیتی‌بودی، گرانوویوریتی، کوارتز مونزونیتی و گابروها را در بر می‌گیرد، مطابق سن‌سنگی‌های اخیر در ۱۴۹-۱۵۲ میلیون سال پیش در سنگ‌های میزان نفوذ کرده و باعث ایجاد دگرگونی مجاورتی در آن‌ها شده است. نفوذ توده‌ها و پروتولیت‌های گوناگون اعم از پلیتی و بازیتی دلیل متفاوت بودن طیف سنگ‌های دگرگونی این منطقه است. سنگ‌های دگرگونی ناحیه‌ای شامل اسلیت، شیست، آمفیبولیت هستند که از اواسط رخساره شیست‌سیز تا اوایل آمفیبولیت دگرگون شده‌اند. سنگ‌های دگرگونی مجاورتی شامل اسلیت‌های لکه‌دار، میکاہورنفلس و کردیریت هورنفلس‌ها هستند که از رخساره آلبیت-اپیدوت هورنفلس تا ابتدای هورنبلند هورنفلس دچار دگرگونی شده‌اند. در کردیریت هورنفلس‌ها، اندازه بلورهای کردیریت با دورشدن از توده نفوذی، کاهش و تعداد آن‌ها افزایش می‌یابد. با توجه به شواهد سنگنگاری به طور کلی سنگ‌های دگرگونی این منطقه دچار سه مرحله دگرگونی شامل دگرگونی ناحیه‌ای احتمالاً فشار بالا، دگرگونی ناحیه‌ای و دگرگونی مجاورتی در حد متوسط شده‌اند. محاسبات دما- فشار برای دگرگونی ناحیه‌ای M1 فشاری معادل Kbar ۳/۹ و دمایی برابر ۵۳۹ °C را نشان می‌دهد. برای دگرگونی مجاورتی M2، میانگین فشار Kbar ۴/۳ و دمای میانگین ۶۰۷ °C محاسبه شده است. همچنین برای دگرگونی مجاورتی M3، با استفاده از کالیبراسیون تجربی تعادل بیوتیت - مسکوویت، دمایی معادل ۵۸۱/۳ °C تخمین زده می‌شود، و با استفاده از تعادل کلریت - کالیبراسیون تجربی تعادل بیوتیت - مسکوویت، دمایی معادل ۳۶۵ Kbar و دما ۶۲۰ °C حاصل شده است. در مجموع نتایج حاصل برای هر دو نوع سنگ‌های دگرگونی منطقه قبل انتظار و منطقی است اما فشار بیشتر برای دگرگونی مجاورتی ممکن است متاثر از جایگزینی توده نفوذی گرانیتی‌بودی باشد.

واژه‌های کلیدی: کردستان، قروه، دگرگونی مجاورتی، کردیریت هورنفلس، دما- فشارسنگی.

منطقه از نظر تقسیمات چینه‌شناسی- ساختمانی بخشی از پهنه ستندج- سیرجان [۲،۱]. شامل مجموعه‌ای از واحدهای رسوبی- ماجمایی با سن پرکامبرین پسین تا کرتاسه پیشین است که طی رخدادهای دگرگونی و دگرشکلی متعدد، متحول شده‌اند. افتخارتزاد [۳] این پهنه را به دو بخش یعنی پهنه ستندج- سیرجان جنوبی، (از سیرجان تا گلپایگان) که دچار

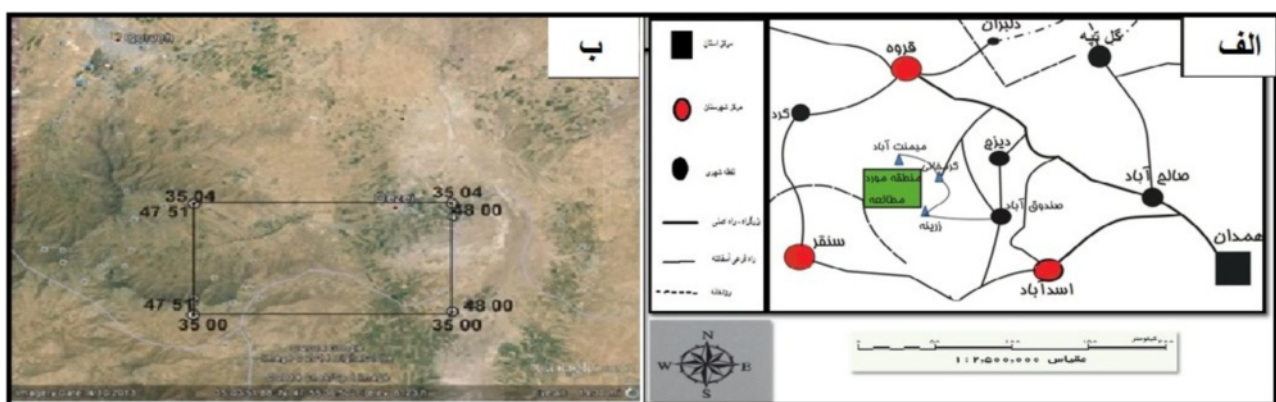
مقدمه

منطقه مورد بررسی در جنوب شهرستان قروه بین طول‌های جغرافیایی ۵۱°، ۴۸°، ۴۷° و عرض‌های جغرافیایی ۳۵°، ۳۵°، ۰۴° قرار دارد. از جمله راههای دسترسی به منطقه، جاده قروه- سنقر و همدان - ستندج است، که محور اصلی ارتباطی منطقه نیز محسوب می‌شود (شکل ۱ الف). این

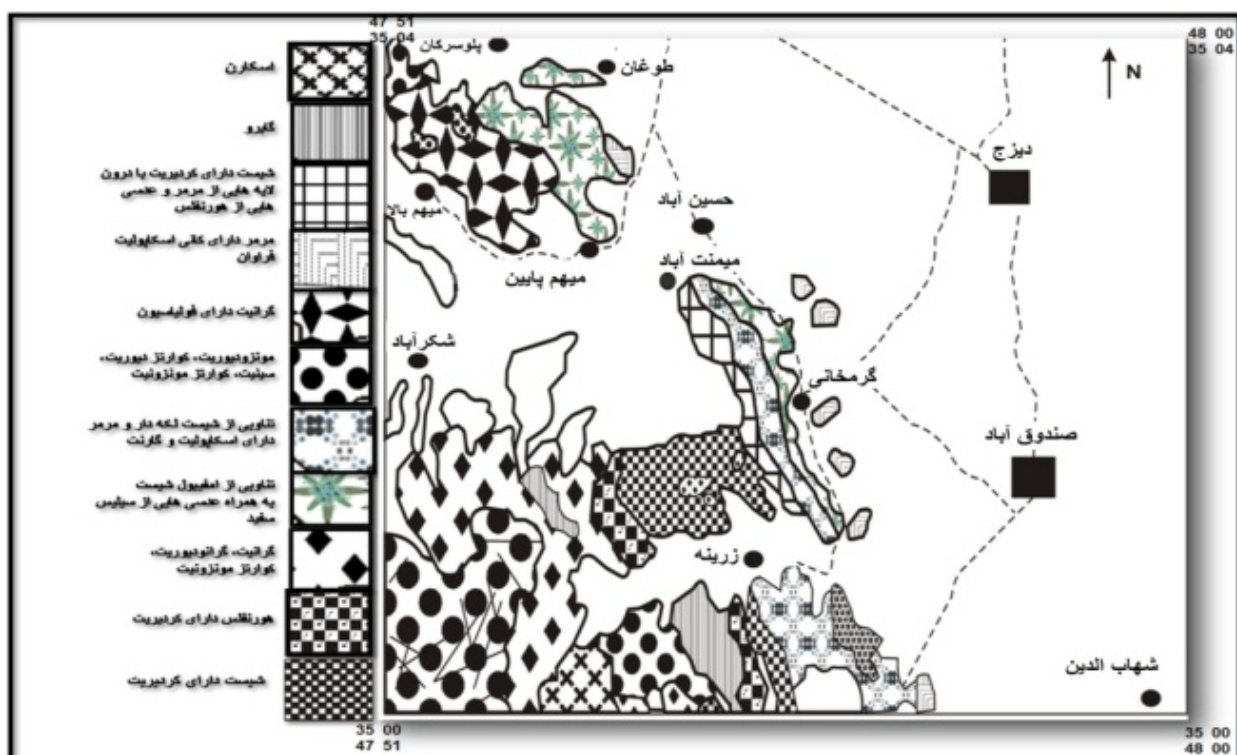
*نویسنده مسئول، تلفن: ۰۰۸۱ (۳۸۳۸۱۶۰۱-۹)، نمایر: ۰۰۸۱ (۳۸۳۸۱۱۷۲)، پست الکترونیکی: a-torkian@basu.ac.ir

تحول آشکاری گردیده‌اند، به طوری که سنگ‌های دگرشکل، پروتومیلونیت و میلونیت را در سنگین آباد، پلوسرکان و کوه گزگز بوجود آورده‌است (شکل ۲). این ویژگی در پهنه سندنج-سیرجان بسیار متداول و گسترده است. کاتاکلازیتی و میلونیتی شدن دو چهره و نمود بارز از فعالیت‌های دگرگونی دینامیک در منطقه است [۴]. از طرف دیگر تاثیر دو عامل نفوذ توده‌ها و فعالیت‌های دینامیکی انتشار گرما، ایجاد و توسعه دگرنهادی و دگرسانی را تسهیل نموده است [۵].

دگرگونی و دگرشکلی در تریاس میانی تا تریاس پسین شده و پهنه سندنج-سیرجان شمالی (از گلپایگان تا سندنج)، که در طی کرتاسه پسین دگرگون و دگرشکل شده است تقسیم نمود. به سبب نفوذ و جایگیری توده‌های گرانیتوئیدی، این پهنه از لحاظ ساختاری اهمیت قابل توجهی دارد. توالی چینه‌ای موجود در منطقه از قدیم به جدید شامل سنگ‌های دگرگونه تریاس، تریاس-ژوراسیک، ژوراسیک و سنگ‌های نادگرگونه اوسن است [۲]. بخشی از مجموعه ژرف توده‌ای جنوب قروه (به ویژه در بخش‌های شمالی) بر اثر دگرگونی دینامیک دچار تغییر و



شکل ۱ الف: راه‌های دسترسی به منطقه مورد بررسی، ب) تصویر ماهواره‌ای منطقه.



شکل ۲ نقشه زمین‌شناسی ساده شده منطقه مورد بررسی، برگرفته از نقشه ۱/۱۰۰۰۰ ورقه قروه.

اسلیت‌ها و اسلیت‌های لکه‌دار: این سنگ‌ها، سنگ‌های دگرگونی دانه‌بزی هستند که بر اثر دگرگونی خفیف رسوبات بسیار دانه‌بزی و سایر سنگ‌های رسوبی مثل آرژیلیت‌ها، ایجاد شده و به راحتی دچار تورق می‌شوند [۷]. رخنمون اسلیت‌ها در منطقه به رنگ‌های خاکستری روشن تا تیره و گاهی به رنگ سبز روشن دیده می‌شود (شکل ۳ ب). اسلیت‌های لکه‌دار نسبت به اسلیت‌ها رنگ روشن‌تری دارند و به فاصله کمی از هورنفلس‌ها مشاهده می‌شوند. اسلیت‌ها دارای بافت اسلیتی و بدون پورفیروبلاست بوده، در حالی که اسلیت‌های لکه‌دار شامل پورفیروبلاست‌های کردیریت هستند. کانی‌های اصلی تشکیل-دهنده شامل کوارتز، سریسیت، فلدسپار قلیایی، بیوتیت هستند و برخی از نمونه‌ها حاوی کلسیت هستند و پورفیروبلاست‌های کردیریت در اسلیت‌های لکه‌دار با بافت اسلیتی با ماکل چرخشی دیده می‌شوند. در برخی از این سنگ‌ها، کردیریت فاقد شکل ویژه یا ماکل شاخص چرخشی یا شعاعی است ولی با توجه به نوع تبدیل شدگی یا مقایسه با سایر نمونه‌ها این لکه‌ها به احتمال زیاد کردیریت هستند.

برخی اسلیت‌های لکه‌دار دارای لایه‌بندی تدریجی و برخی لایه‌های غنی از کردیریت یا بدون کردیریت هستند. همچنین برخی نمونه‌ها دارای نوارهایی غنی از کوارتز و فلدسپار و قسمت‌هایی شامل مواد رسی و میکاها، که به سنگ ساخت لایه‌ای داده است هستند (شکل ۳ پ). چنین به نظر می‌رسد که دگرگونی مجاورتی در اسلیت‌های لکه‌دار چندان تاثیرگذار نبوده است و در لایه‌های غنی از کوارتز و فلدسپار فقط تا حدی کوارتزها را دانه‌ای نموده است (بافت هورنفلسی) اما بافت اسلیتی همچنان مشهود است.

در کل اسلیت‌ها تغییرات بافتی محسوسی را نشان نمی‌دهند، ولی بلورهای بیوتیت به طرف توده نفوذی در مقایسه با نمونه‌های دورتر از توده درشت‌تر می‌شوند. پیدایش بیوتیت به عنوان آغاز دگرگونی مجاورتی و تشکیل آنها قبل از کردیریت‌ها در نظر گرفته می‌شود.

با توجه به بافت اسلیتی، این سنگ‌ها دچار یک مرحله دگرگونی ناحیه‌ای درجه پایین شده‌اند، سپس در اثر دگرگونی مجاورتی در آنها کردیریت بوجود آمده است. از آنجاییکه در بافت اسلیتی، بلورهای بیوتیت و حتی کردیریت‌ها در امتداد محور ریزچین‌ها چرخیده‌اند باید گفت که این سنگ‌ها تحت تاثیر فعالیت‌های زمین‌ساختی نیز بوده‌اند.

زمین‌شناسی عمومی منطقه

مجموعه ژرف‌توده‌ای جنوب قروه که طیفی از سنگ‌های گرانیتوئیدی، کوارتز مونزونیتی و گابروها را در بر می‌گیرد، با توجه به سن‌سنجدی‌های اخیر در ۱۴۹ - ۱۵۲ میلیون سال پیش در سنگ‌های دگرگونی ناحیه‌ای میانه‌زیستی نفوذ کرده [۶] و سبب دگرگونی مجاورتی سنگ‌های میزان شده است (شکل ۲). در ادامه شرح کوتاهی از سنگ‌های دگرگونی‌های منطقه ارائه می‌شود [۲]:

دگرگونی ناحیه‌ای: توالی‌های رسوبی موجود در این منطقه مشتمل از سه نوع سنگ‌شناسی عمدۀ است که عبارتند از ولکانیک‌های زیر دریایی، پلیت‌ها و سنگ‌های کربناته، که سن آنها از تریاس تا ژوراسیک تغییر می‌کند [۲]. این مجموعه‌ها قبل از ژوراسیک پسین تحت تأثیر دگرگونی ناحیه‌ای قرار گرفته و با طیفی به نسبت وسیع از اوسط رخساره شیست سبز تا اوایل رخساره آمفیبولیت دگرگون شده‌اند. بر اساس پاراژنر کانی‌های موجود، بهنه‌های کلریت، بیوتیت، گارنت و استروئید قابل تشخیص هستند. با توجه به فعالیت‌های ماگمایی فعال منطقه و گسترش سنگ‌های آذرین درونی، بروز دگرگونی مجاورتی کاملاً طبیعی است. بهنه‌های مربوط به دگرگونی مجاورتی در منطقه قروه پهنه‌ای اندالوزیت و پهنه کردیریت است. نخستین آثار تشکیل آندالوزیت در شیست‌های لکه‌دار منطقه، از جمله در جنوب شرق تازه آباد و غرب گرمخانی مشهود است و مجموعه کانیایی آن شامل آندالوزیت، بیوتیت، مسکوویت، کوارتز و ارتوكلاز است. بهنه کردیریت گسترش قابل توجهی در ورقه قروه دارد که بیشتر در گوشه جنوب شرقی به صورت کردیریت هورنفلس و کردیریت شیست هستند. بخش عمدۀ از کانی کردیریت در شیست‌های لکه‌دار جنوب میمنت آباد دیده می‌شود. مجموعه کانی‌شناسی موجود در این منطقه عبارتست از: کردیریت، بیوتیت، کوارتز و ارتوكلاز.

ویژگی‌های صحراوی و سنگ‌نگاری

بر اساس نتایج بررسی‌های نمونه‌های دستی و مقاطع میکروسکوپیکی، منطقه مورد بررسی شامل ترکیبی از سنگ‌های دگرگونی ناحیه‌ای در پهنه ای وسیع شامل اسلیت، شیست‌ها و آمفیبولیت و مجاورتی‌های اسلیت و اسلیت‌های لکه‌دار؛ کردیریت هورنفلس / میکا هورنفلس (فاقد کردیریت). (شکل ۳ الف) است که در ادامه با جزئیات توضیح داده می‌شوند:



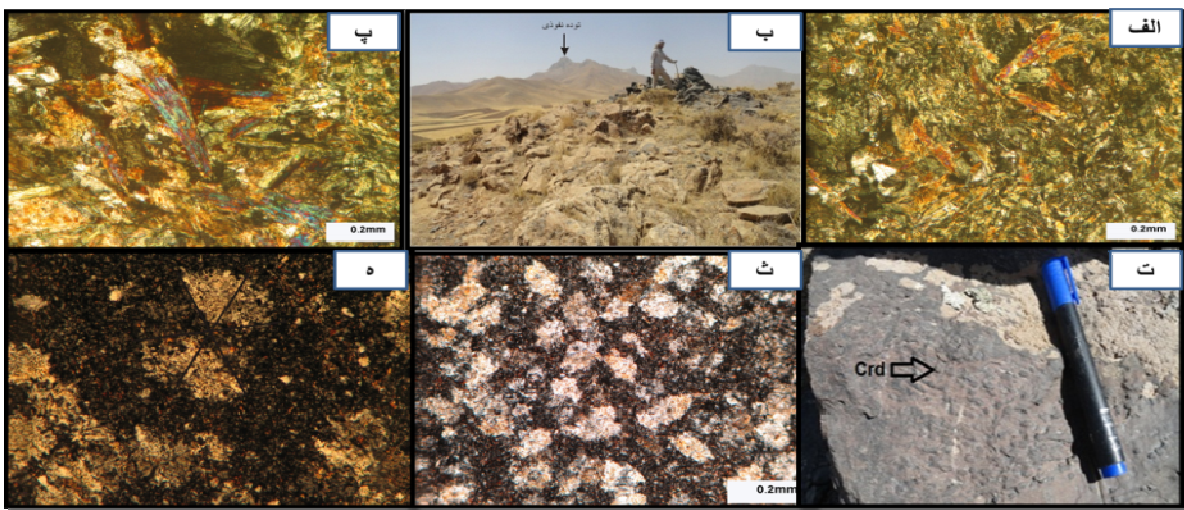
شکل ۳ (الف) مرز توده نفوذی با سنگ‌های دگرگونی، غرب روستای زرینه، ب) رخنمون اسلیت‌ها، شرق روستای زرینه، پ) تصویر میکروسکوپیکی (X.P.L.) یک اسلیت لکه‌دار با لایه‌بندی ترکیبی و نواری (نوارهای غنی از کوارتز و فلدسپات در بالا و نوارهای غنی از مواد رسی در پایین) Crd: کردیزیت.

(شکل ۴ پ) با بافت متقطع دیده می‌شوند، که چنین حالتی در آمفیبولیت معروف گرمانی به وفور یافت می‌شود. لازم به یادآوری است که حریری در آمفیبولیت‌های گرمانی آمفیبولیت‌های سدیمی را گزارش نموده و حد رخساره دگرگونی این سنگ‌ها را آمفیبولیت فشار بالا و در مجاورت محدوده رخساره شیست آبی تشخیص داده است [۸].

هورنفلس‌ها: رخنمون هورنفلس‌های منطقه در غرب زرینه و در مجاورت با توده نفوذی، به صورت توده‌ای و به رنگ سیاه دیده می‌شود (شکل ۴ ت). سنگ مادر هورنفلس‌های منطقه مورد بررسی (کردیزیت هورنفلس و میکا هورنفلس) ورقه است. این سنگ‌ها شامل کردیزیت هورنفلس و میکا هورنفلس (بدون کردیزیت) هستند. بافت بیشتر هورنفلس‌ها ریزدانه‌ای و پورفیروبلاستی است و از کانی‌های اصلی آنها می‌توان به کوارتز، بیوتیت، فلدسپارقلیایی، کلریت، آندالوزیت، کلسیت و کردیزیت در هورنفلس‌های منطقه قابل توجه است. بعضی از کردیزیت‌ها ماکلهای شعاعی و قطاعی را نشان می‌دهند. ماکلهای قطاعی در پاسخ به تبدیل کردیزیت ششگوشی درجه بالای نیمه‌پایدار، به کردیزیت راستگوشی دما پایین پایدار هنگام سرد شدن ایجاد می‌شود [۹]، (شکل ۴ د).

شیست: شیست‌ها با رنگ سیاه تا سبز، بیشتر در جنوب میمنت آباد رخنمون دارند و شامل آمفیبول میکاشیست‌ها (شکل ۴ الف) و میکاشیست‌ها و کلریت شیست‌ها هستند. امتداد و روند رخنمون این شیست‌ها SSE - NNW و بافت آنها نماتوبلاستی و لپیدوبلاستی بوده و دارای ترکیب کانی-شناشی آمفیبول به صورت سوزن‌های ظرفی، اپیدوت نسبتاً زیاد از نوع زوییزیت و کلینیزوییزیت، ارتولکلار، کوارتز، بیوتیت، پلاژیوکلاز و میکروکلین هستند. با توجه به بررسی‌های انجام شده، همچنین محاسبات دما- فشارستنجی و تکیه بر پژوهش-های صورت گرفته پیشین یک دگرگونی ناحیه‌ای [۸] در حد رخساره شیست سبز بالایی تا آمفیبولیت پایینی به وقوع پیوسته است. وجود اجتماع کوارتزهای کشیده شده و یا پورفیروبلاست‌های فلدسپار چشمی در برخی از نمونه‌ها، شواهدی از میلیونیتی شدن هستند که به صورت ریزچین کل بافت را تحت تاثیر قرار داده و بافت قدیمی را بهم ریخته است.

آمفیبولیت: رخنمون آمفیبولیت‌ها که در اطراف گرمانی (جنوب شرقی میمنت آباد) مشاهده شده است، به رنگ‌های سبز روشن تا تیره، خاکستری روشن تا تیره است (شکل ۴ ب). آمفیبولیت‌ها دارای بافت نماتوبلاستی بوده و می‌توان به وجود کانی‌های هورنبلند، پلاژیوکلاز، مسکوویت، میکروکلین، ارتولکلار، بیوتیت، گاهی کلسیت و کوارتز در ترکیب آنها اشاره نمود. بافت‌های سوزنی که مشخصه آمفیبول شیست‌ها و آمفیبولیت‌هاست در منطقه فراوان است و سوزن‌های آمفیبول



شکل ۴ (الف) تصویر میکروسکوپیکی آمفیبول میکاشیست، (ب) رخمنون آمفیبولیت‌ها، روستای گرمانی، (پ) تصویر میکروسکوپیکی از آمفیبولیت‌های منطقه با بافت متقطع، (ت) نمونه دستی یک کردیریت هورنفلس در منطقه زرینه، (crd: کردیریت، کرتز ۱۹۸۴)، (ث) تصویر میکروسکوپیکی از کردیریت هورنفلس، (ه) بلور کردیریت با ماکل قطاعی در کردیریت هورنفلس.

۱۴۰ نمونه از طیفی از سنگ‌های مختلف (آذرین از توده نفوذی، دگرگونی‌های مجاورتی و ناحیه‌ای) برداشته شد. برای بررسی بافت‌ها و کانی‌ها از نمونه‌ها حدود ۵۵ مقطع نازک تهیه گردید. به منظور شناسایی ترکیب کانی‌های اصلی سنگ و بازسازی شرایط ترمودینامیکی (فشار و دما) دگرگونی منطقه ۴ مقطع نازک - صیقلی از اسلیت‌های لکه‌دار و هورنفلس‌ها انتخاب شد و برای بررسی‌های EPMA مورد تجزیه شیمیایی قرار گرفتند. تجزیه نقطه‌ای کانی‌ها توسط دستگاه ریزپردازشگر الکترونی Cameca Sx100 در اختلاف پتانسیل ۱۰KV و شدت پرتو ۱۰nA، در گروه تحقیقاتی KMA استخراج معدن کوالاالامپور کشور مالزی انجام شده است. نتایج در جدول‌های ۱ تا ۴ ارائه شده است.

بیوتیت: بیوتیت در سنگ‌های دگرگونی در گستره وسیعی از شرایط دما و فشار تشکیل شده است و در سنگ‌هایی با مادری با ترکیب رس به عنوان شروع شرایط دما و فشاری پهنه بیوتیت در نظر گرفته می‌شود [۱۳]. بیوتیت یکی از مهم‌ترین کانی‌ها در سنگ‌های دگرگونی منطقه است که در هر دو سنگ‌های دگرگونی ناحیه‌ای و دگرگونی مجاورتی متبلور شده است. این کانی همراه با مسکوویت و کلریت در سنگ‌های دگرگونی ناحیه‌ای و در اندازه‌های متوسط تا درشت بلور، متاثر از دگرگونی مجاورتی دیده می‌شود.

در کردیریت هورنفلس‌ها همزمان با کاهش مسکوویت و بیوتیت، فراوانی کانی‌های ارتوکلاز و کردیریت بیشتر می‌شود. حضور همزمان این دو کانی نشان‌دهنده درجه دگرگونی نسبتاً بالاست. با توجه به این که در کردیریت هورنفلس‌ها با کاهش مسکوویت و بیوتیت، بلورهای کردیریت بوفور یافت می‌شوند، به احتمال زیاد کردیریت از واکنش زیر حاصل شده است:

$$(1) \text{ مسکوویت} + \text{بیوتیت} + \text{کوارتز} \leftarrow \text{کردیریت} + \text{ارتوكلاز} + \text{آب} \quad [11, 10]$$

اندازه بلورهای کردیریت در هورنفلس‌های کردیریت‌دار در مجاورت توده گرانیت‌وئیدی در حد یک سانتی‌متر یا حتی کمی بیشتر است، و با دور شدن از توده اندازه آنها کاهش یافته و به صورت لکه در می‌آیند، اما تعدادشان افزایش می‌یابد [۱۲]. با توجه به ترکیب کانی‌ای، چنین استنباط می‌شود که هورنفلس‌ها تا رخساره هورنبلند هورنفلس دگرگون شده باشند و به علت نبود همرشدی دو کانی ارتوکلاز و کردیریت نمی‌توان درجه دگرگونی را به بیش از رخساره یادشده نسبت داد.

شیمی کانی‌ها روش کار

در این پژوهش سعی شده است تا در پیمایش‌های صحرایی از جهت‌های مختلفی در پیرامون توده نفوذی منطقه، نمونه‌برداری‌ها در راستا و هدف مشخصی صورت پذیرد که در نهایت

جدول ۱ نتایج تجزیه نقطه‌ای بیوپتیت‌های موجود در دگرگونی‌های مجاورتی و ناحیه‌ای و مقدار کاتیون‌های محاسبه شده به ازای ۱۱ اکسیژن.

Mineral	Biotite											
	Regional metamorphic rocks										Contact metamorphic rocks	
Rock	Z.43-11	Z.43-12	Z.43-13	Z.43-14	Z.57-25	Z.57-26	B0-B1	B0-B2	B0-B3	B0-B4	B4-B41	B4-B43
Sample No.	Z.43-11	Z.43-12	Z.43-13	Z.43-14	Z.57-25	Z.57-26	B0-B1	B0-B2	B0-B3	B0-B4	B4-B41	B4-B43
SiO ₂	۳۷.۸۷	۳۶.۵۴	۳۶.۵۴	۳۵.۹۵	۳۶.۲۷	۳۵.۷۷	۳۶	۳۵.۶۱	۳۵.۲۳	۳۵.۵۴	۳۶.۱۲	۳۶.۲۵
TiO ₂	۳.۱۳	۳.۰۳	۲.۷۱	۲.۸	۲.۴۵	۲.۳۷	۰.۹۸	۰.۰۲	۰.۱۲	۰.۰۸	۰.۱	۰.۰۵
Al ₂ O ₃	۱۹.۱۱	۱۹.۷۱	۲۰.۱۶	۱۹.۹۵	۲۱.۲۶	۲۰.۰۷	۱۷.۶۵	۱۶.۴۶	۱۸.۳۱	۱۷.۳۳	۱۵.۳۱	۱۵.۲۴
FeO	۲۱.۱۱	۲۱.۴۹	۲۱.۸۴	۲۱.۸۶	۲۲.۱۴	۲۲.۱۶	۲۰.۱۲	۱۹.۸۱	۱۹.۵۶	۲۰	۱۹.۰۱	۱۹
MnO	۰.۰۲	۰.۰۲	۰.۰۱	۰	۰.۰۲	۰	۰	۰	۰	۰	۰	۰
MgO	۶.۴۷	۶.۸۴	۷.۵۷	۶.۹	۷.۹۴	۶.۶۸	۱۰.۰۱	۱۱.۱۲	۱۰.۸۱	۹.۸۵	۱۲.۵۳	۱۳.۶۴
CaO	۰.۱۸	۰.۱۲	۰.۰۶	۰.۱۹	۰.۰۶	۰.۱۶	۰.۰۶	۰.۰۴	۰.۰۵	۰.۰۴	۰.۰۱	۰.۰۵
Na ₂ O	۰	۰	۰.۳۶	۰.۷۷	۰	۰	۰.۲۱	۰.۶۱	۰.۵۳	۰.۴۳	۰.۱۲	۰.۱۴
K ₂ O	۱.۰۳	۹.۸۴	۱۰.۰۶	۹.۶۵	۱۰.۴	۱۰.۲۷	۹.۳۱	۹.۲۲	۹.۴۵	۹.۳۱	۹.۵۶	۸.۹۵
Total	۹۸.۱۵	۹۸.۹	۹۸.۹۴	۹۸.۰۷	۱۰۰.۷۴	۹۸.۱۱	۹۴.۳۴	۹۲.۶۹	۹۴.۰۶	۹۲.۵۷	۹۲.۵۸	۹۲.۳۲
Oxygens							۱۱					
Si	۲.۸۱	۲.۷۲	۲.۶۹	۲.۶۹	۲.۶۵	۲.۶۸	۲.۷۸	۲.۷۹	۲.۷۲	۲.۸	۲.۸۲	۲.۷۹
Ti	۰.۱۸	۰.۲	۰.۱۵	۰.۱۶	۰.۱۳	۰.۱۳	۰.۱۶	۰.۰۱	۰.۰۱	۰.۰۱	۰.۰۱	۰
Al	۱.۶۷	۱.۷۳	۱.۷۶	۱.۷۶	۱.۸۳	۱.۸۳	۱.۶۱	۱.۵۲	۱.۶۷	۱.۶۱	۱.۴۱	۱.۳۸
Fe ³⁺	۳۱.۱	۱۳۴	۱۳۴	۱۳۷	۱۳۵	۱۳۹	۱.۳	۱.۲۲	۱.۲۲	۱.۲۲	۱.۰۶	۱.۰۴
Mn	۰	۰	۰	۰	۰	۰	۰	۰	۰	۰	۰	۰
Mg	۰.۷۲	۰.۷۶	۰.۸۴	۰.۷۷	۰.۸۶	۰.۷۵	۱.۱۵	۱.۳	۱.۲۴	۱.۱۶	۱.۴۳	۱.۵۷
Ca	۰.۰۱	۰.۰۱	۰.۰۱	۰.۰۲	۰.۰۱	۰.۰۱	۰.۰۱	۰	۰	۰	۰	۰
Na	۰	۰	۰.۰۵	۰.۱۱	۰	۰	۰.۰۳	۰.۰۹	۰.۰۸	۰.۰۷	۰.۰۲	۰.۰۲
K	۰.۹۸	۰.۹۳	۰.۹۵	۰.۹۲	۰.۹۷	۰.۹۸	۰.۹۷	۰.۹۲	۰.۹۳	۰.۹۴	۰.۹۵	۰.۸۸
Sum	۷.۶۹	۷.۶۹	۷.۷۸	۷.۷۹	۷.۷۹	۷.۷۷	۷.۸۴	۷.۹۲	۷.۹۲	۷.۸۹	۷.۸۷	۷.۸۷
Fe/Fe+Mg	۰.۶۵	۰.۶۴	۰.۶۲	۰.۶۴	۰.۶۱	۰.۶۵	۰.۵۲	۰.۴۸	۰.۴۹	۰.۵۲	۰.۴۲	۰.۴
Mg/Mg+Fe	۰.۳۵	۰.۳۶	۰.۳۸	۰.۳۶	۰.۳۹	۰.۳۵	۰.۴۷	۰.۵۲	۰.۵۱	۰.۴۷	۰.۵۸	۰.۶
Fe ²⁺ /Fe ^{Total}	۱	۱	۱	۱	۱	۱	۱	۰.۹۵	۰.۹۵	۱	۰.۸۵	۰.۸۵
Na/Na+K	۰	۰	۰.۰۵	۰.۱۱	۰	۰	۰.۰۲	۰.۰۹	۰.۰۷	۰.۰۶	۰.۲	۰.۲
Activities												
Phl	۰.۰۲	۰.۰۲	۰.۰۲	۰.۰۲	۰.۰۳	۰.۰۲	۰.۰۵	۰.۰۷	۰.۰۶	۰.۰۶	۰.۰۸	۰.۱
Ann	۰.۰۷	۰.۰۷	۰.۰۷	۰.۰۷	۰.۰۸	۰.۰۷	۰.۰۷	۰.۰۶	۰.۰۵	۰.۰۸	۰.۰۴	۰.۰۳
East	۰.۰۲	۰.۰۲	۰.۰۳	۰.۰۲	۰.۰۴	۰.۰۳	۰.۴	۰.۰۵	۰.۰۶	۰.۰۴	۰.۰۵	۰.۰۶

جدول ۲ نتایج آنالیزهای شیمیایی بلورهای مسکوویت (مقدار کاتیون‌های محاسبه شده به ازای ۱۱ اکسیژن) و کلریت (مقدار کاتیون‌های محاسبه شده به ازای ۱۴ اکسیژن).

Mineral	Muscovite										Chlorite			
	Point No	M1	M2	M3	M4	M21	M31	Ch1	Ch2	Ch3	Ch4	Regional Metamorphic rocks	Regional Metamorphic rocks	
		۴۷.۳۵	۴۸.۱۳	۴۷.۶۵	۴۸.۹۱	۴۹.۳۱	۴۹.۰۱	۲۵.۱۸	۲۴.۷۸	۲۵.۶۱	۲۴.۹۳			
SiO ₂		۰.۱۶	۰.۱۸	۰.۹۵	۰.۸۶	۰.۵۶	۰.۷۷	۰	۰	۰	۰			
TiO ₂		۳۱.۲	۳۰.۱۴	۲۹.۲۵	۳۰.۷۱	۳۷	۲۷.۸۵	۲۱.۸۵	۲۲.۰۳	۲۲.۱۴	۲۲.۰۶			
Al ₂ O ₃		۲۲.۳	۴.۱۲	۴.۰۶	۳.۱۴	۶.۱۴	۶.۰۲	۲۶.۱۲	۱۵.۰۵	۲۴.۸۴	۲۵.۱۶			
FeO		۰.۹۵	۰.۹۶	۱.۱۲	۰.۸۹	۰.۹۱	۰.۱۲	۱۵.۲۱	۱۴.۶۱	۱۵.۲۵	۱۴.۸۳			
MgO		۰.۱	۰.۰۳	۰.۰۵	۰.۰۶	۰.۰۶	۰.۱	۰.۱۶	۰.۲۱	۰.۰۹	۰.۱۲			
CaO		۰.۴۵	۰.۵۳	۰.۷۱	۰.۳۷	۰.۶۱	۰.۸۲	۰	۰	۰	۰			
Na ₂ O		۰.۹۳	۹.۶۱	۹.۵۷	۹.۸۱	۹.۸۲	۹.۵۶	۰	۰	۰	۰			
K ₂ O		۹۳.۳۷	۹۳.۷	۹۳.۳۶	۹۴.۷۵	۹۴.۴۲	۹۴.۲۵	۸۸.۹۲	۸۶.۶۸	۸۷.۹۳	۸۷.۴۸			
Total		۸۹.۵	۸۹.۷	۸۹.۱	۸۹.۷	۸۹.۸	۸۹.۶	۱۰	۹.۷۱	۹.۹۶	۹.۹۸			
Oxygens												۱۴		
Si		۳.۲۸	۳.۲۷	۳.۲۸	۳.۲۳	۳.۳۷	۳.۳۵	۲.۶۱	۲.۸۲	۲.۶۸	۲.۶۲			
Ti		۰.۰۱	۰.۰۵	۰.۰۴	۰.۰۱	۰.۰۳	۰.۰۴	۲.۶۸	۲.۹۵	۲.۷۳	۲.۸			
Al		۲.۴۴	۲.۲۷	۲.۴۳	۲.۵۱	۲.۱۸	۲.۲۵	۰.۱۱	۰	۰	۰			
Fe ²⁺		۰.۲۴	۰.۲۳	۰.۱۸	۰.۱۸	۰.۳۵	۰.۳۵	۲.۱۶	۱.۴۳	۲.۱۷	۲.۲۱			
Fe ³⁺		۰	۰	۰	۰	۰	۰	۲.۴۳	۲.۴۸	۲.۳۸	۲.۳۳			
Mg		۰.۰۹	۰.۱۱	۰.۰۸	۰.۰۹	۰.۰۹	۰.۰۱	۰.۰۲	۰.۰۳	۰.۰۱	۰.۰۱			
Ca		۰.۰۰۲	۰.۰۰۴	۰.۰۰۴	۰.۰۰۷	۰.۰۰۵	۰.۰۰۷	۰.۰۱	۰.۰۲	۰.۰۱	۰.۰۱			
Na		۰.۰۷	۰.۰۹	۰.۰۴	۰.۰۶	۰.۰۸	۰.۱۰	۰	۰	۰	۰			
K		۰.۸۳	۰.۸۳	۰.۸۳	۰.۸۶	۰.۸۵	۰.۸۳	۰	۰	۰	۰			
Sum		۸۹.۵	۸۹.۷	۸۹.۱	۸۹.۷	۸۹.۸	۸۹.۶	۱۰	۹.۷۱	۹.۹۶	۹.۹۸			
Activities														
clin		۰.۰۳	۰.۰۳	۰.۰۴	۰.۰۴	۰.۰۴	۰.۰۱	۰	۰	۰	۰			
daph		۰.۰۶	۰.۰۸	۰.۰۹	۰.۰۷	۰.۱۵	۰.۱۸	۰	۰	۰	۰			
ames		۰.۲۵	۰.۱۴	۰.۰۷	۰.۳	۰.۶۲	۰.۸۳	۰	۰	۰	۰			
mu		۰	۰	۰	۰	۰	۰	۰.۰۳	۰.۰۸	۰.۰۳	۰.۰۳			
cel		۰	۰	۰	۰	۰	۰	۰.۰۲	۰.۰۲	۰.۰۲	۰.۰۲			
fcel		۰	۰	۰	۰	۰	۰	۰.۰۴	۰.۰۴	۰.۰۳	۰.۰۳			
pa		۴۷.۳۵	۴۸.۱۳	۴۷.۶۵	۴۸.۹۱	۴۹.۳۱	۴۹.۰۱	۲۵.۰۸	۲۴.۷۸	۲۵.۶۱	۲۴.۹۳			

جدول ۳ نتایج تجربیه نقطه‌ای فلدسپارهای اسلیت‌های لکه‌دار و مقدار کاتیون‌های محاسبه شده به ازای ۸ اکسیژن.

Mineral	K-fsp, Plagioclase							
Rock	Slate Spotted							
Sample No	Z.11	Z.11	Z.11	Z.11	Z.11	Z.11	Z.11	
Point No	9	10	11	12	14	16	17	
K-fsp		Plagioclase						
SiO ₂	۶۴,۸۸	۶۶,۷۱	۵۷,۱۲	۶۰,۸۸	۶۷,۱۲	۶۷,۵۳	۶۶,۲۴	
TiO ₂	۰,۰۳	-	۰,۰۲	۰,۰۹	۰,۰۴	۰,۰۹	۰,۰۱	
Al ₂ O ₃	۱۹,۶۴	۱۸,۶۴	۲۱,۲۶	۲۱,۳۶	۲۲,۳۱	۲۰,۶۱	۲۲,۱	
Fe ₂ O ₃	۱,۸۷	۰,۱۶	۰,۲۸	۰,۷۷	۰,۱۳	۰,۲۱	۰,۲۳	
MnO	-	-	۰,۰۲	-	۰,۰۲	-	-	
MgO	۰,۴۹	-	۰,۰۴	۰,۳۳	-	۰,۰۱	۰,۰۱	
CaO	۰,۶۳	۰,۰۳	۰,۹	۱,۸۱	۲,۶۱	۱,۱۱	۱,۳	
Na ₂ O	۳,۳۶	۲,۵۸	۱۱,۰۷	۱۰,۱۹	۸,۵۳	۱۱,۱۶	۹,۲۴	
K ₂ O	۷,۴۶	۱۱,۹۸	۰,۷۵	۰,۱۸	۰,۱۶	۰,۸۸	۰,۱۶	
Total	۹۸,۳۶	۱۰,۰۱	۱۰,۱۴۶	۱۰,۰۶۱	۱۰,۰۹۲	۱۰,۱۴	۱۰,۱۱۸	
Oxygens	۸							
Si	۲,۹۴	۳,۰۲	۲,۹۱	۲,۸۸	۲,۹	۲,۹۳	۲,۸۷	
Ti	۰,۰۰۱	-	۰,۰۰۱	۰,۰۰۳	۰,۰۰۱	۰,۰۰۳	-	
Al	۱,۰۵۲	۰,۹۹	۱,۰۸	۱,۱۰۱	۱,۱۳۷	۱,۰۵۴	۱,۱۳۱	
Fe ³⁺	۰,۰۸۴	۰,۰۰۵	۰,۰۰۹	۰,۰۲۵	۰,۰۰۴	۰,۰۰۷	۰,۱۱	
Mn	-	-	۰,۰۰۱	-	۰,۰۰۱	-	-	
Mg	۰,۰۳۳	-	۰,۰۰۳	۰,۰۲۲	-	۰,۰۰۱	۰,۰۰۱	
Ca	۰,۰۳	۰,۰۰۱	۰,۴۲	۰,۸۵	۰,۱۲۱	۰,۰۵۲	۰,۱۵۵	
Na	۰,۲۹۶	۰,۲۲۶	۰,۹۳۱	۰,۸۴۴	۰,۷۱۵	۰,۹۳۹	۰,۷۷۸	
K	۰,۴۳۲	۰,۶۹۲	۰,۰۴۲	۰,۰۱	۰,۰۰۹	۰,۰۳۸	۰,۰۰۹	
Sum	۴,۸۵۸	۴,۹۴	۵,۰۲۶	۴,۹۹	۴,۸۸۹	۵,۰۲۴	۴,۹۴۸	
Na _(Na+Ca+K)	۰,۳۹	۰,۲۴۶	۰,۹۱	۰,۹۰	۰,۸۴۶	۰,۹۱۳	۰,۸۳۶	
Ca _(Na+Ca+K)	۰,۰۷	۰,۰۰۱	۰,۰۸۴	۰,۰۸۹	۰,۱۴۲	۰,۰۵۱	۰,۱۵۵	
K _(Na+Ca+K)	۰,۵۶۹	۰,۷۵۳	۰,۰۴۱	۰,۰۰۱	۰,۰۱۱	۰,۰۳۷	۰,۰۱	
Activities								
An	-	۰,۸۲	۰,۴۷	۰,۱۵۲	۰,۲۴	۰,۰۸۷	۰,۲۶	
Ab	-	-	۰,۶۹	۰,۹	۰,۸۵	۰,۹۱	۰,۸۴	

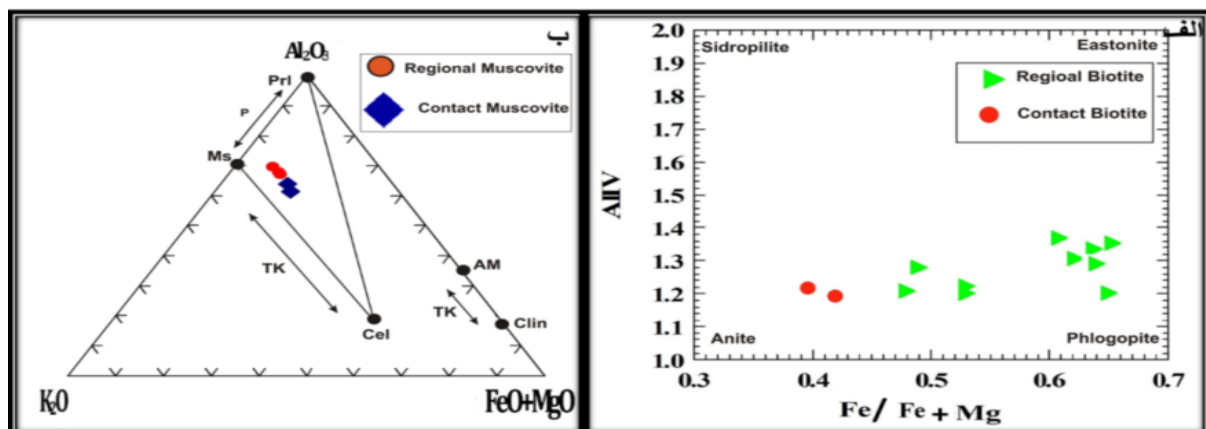
جدول ۴ نتایج آنالیز شیمیایی بلورهای کردپریت و مقدار کاتیون‌های محاسبه شده به ازای ۸ اکسیژن.

Mineral	Cordierite												
Rock	Slate Spotted				Hornfels								
SiO ₂	۵۱,۸۸	۵۲,۴۳	۵۰,۲۲	۴۹,۴	۵۷,۲۶	۵۰,۹۷	۵۵,۷۸	۵۱,۸۵	۵۰,۶۸	۵۲,۹۵	۵۳,۸۴	۴۷,۹۷	۴۹,۷۳
TiO ₂	۰,۴	۰,۱	۰,۰۲	-	-	۰,۰۵	۰,۳۵	۰,۱۶	۰,۲۷	-	۰,۰۵	-	۰,۰۸
Al ₂ O ₃	۲۷,۱۶	۲۸,۴۹	۳۰,۰۶	۳۲,۴۸	۲۷,۰۱	۳,۳۳	۲۶,۸۱	۲۷,۸۲	۲۹,۵۹	۲۸,۸۹	۲۸,۸۸	۳۱,۶۷	۳۱,۲۴
Fe ₂ O ₃	۱,۹۴	۲,۰۲	۲,۰۶	۱,۲۲	-	۱,۷۶	-	۲,۲۳	-	-	-	۰,۱۵	-
FeO	۸,۹۸	۷,۲۷	۸,۹۳	۹,۶۸	۹,۶	۸,۸۳	۹,۹۷	۸,۳۸	۱۱	۱۱,۲۳	۱۰,۷۵	۱۲,۳۳	۱۱,۷۹
MnO	۰,۰۳	۰,۰۵	۰,۰۷	۰,۰۹	۰,۰۷	۰,۰۷	۰,۰۲	۰,۰۲	۰,۰۶	۰,۲۴	۰,۲۶	۰,۲۶	-
MgO	۳,۸۴	۴,۰۴	۵,۰۷	۶,۸۱	۵,۸۲	۴,۰۹	۴,۶۶	۵	۴,۷۳	۴,۹۸	۴,۷۴	۵,۳۵	۵,۴
CaO	۰,۱۲	۰,۰۲	۰,۰۲	۰,۰۴	۰,۰۶	۰,۰۲	۰,۰۱	۰,۰۲	۰,۰۵	۰,۰۴	۰,۰۵	۰,۰۳	۰,۰۵
Na ₂ O	۰,۱۳	۰,۱۳	۰,۷۳	۰,۲۲	-	-	۱,۲۵	۲۴	۰,۲۲	-	-	۰,۱۸	-
K ₂ O	۶,۱	۴,۶	۱,۲۸	۰,۲۱	۰,۰۲	۲,۹۴	۰,۰۱	۰,۰۲	۰,۰۲	۰,۰۸	۰,۰۱	۰,۱۱	-
Total	۹۸,۲۲	۹۹,۶۵	۹۸,۰۶	۹۹,۸۹	۹۹,۸۴	۹۹,۷۱	۹۸,۷۷	۹۸,۴۱	۹۷,۱۴	۹۸,۶۸	۹۸,۳۳	۹۸,۰۹	۹۸,۰۵
Oxygens	۱۸												
Si	۵,۵	۵,۴۴	۵,۲۴	۵,۰۲	۵,۷۶	۵,۲۸	۵,۷۱	۵,۳۹	۵,۳۳	۵,۴۶	۵,۵۵	۵,۰۵	۵,۱۷
Ti	-	۰,۰۱	-	-	-	-	-	۰,۰۳	۰,۰۱	۰,۰۲	-	-	۰,۰۱
Al	۳,۴	۳,۴۸	۲,۷	۳,۹۲	۳,۲۰	۳,۷۰	۳,۲۳	۳,۴۱	۳,۸۷	۳,۵۱	۳,۴۸	۳,۹۳	۳,۸۳
Fe ³⁺	۰,۱۶	۰,۱۶	۰,۱۶	۰,۱	-	۰,۱۴	-	۰,۱۸	-	-	-	۰,۰۱	-
Fe ²⁺	۰,۶۲	۰,۶۳	۰,۷۸	۰,۸۳	۰,۸۱	۰,۷۷	۰,۸۵	۰,۷۳	۱,۰۰۶	۰,۹۷	۰,۹۳	۱,۰۸	۱,۰۲
Mn	-	-	۰,۰۱	۰,۰۱	۰,۰۱	۰,۰۲	۰,۰۲	۰,۰۲	-	۰,۰۲	۰,۰۲	۰,۰۲	۰,۰۲
Mg	۰,۶۱	۰,۷	۰,۷۹	۱,۰۴	۰,۸۴	۰,۷۱	۰,۷۸	۰,۷۴	۰,۷۷	۰,۷۳	۰,۸۴	۰,۸۴	-
Ca	۰,۰۱	-	-	-	۰,۰۱	-	-	۰,۰۱	-	۰,۰۱	-	-	۰,۰۱
Na	۰,۰۳	۰,۰۳	۰,۱۵	۰,۰۴	-	-	۰,۲۵	۰,۴۸	۰,۰۵	-	-	۰,۰۴	-
K	۰,۸۳	۰,۸۱	۰,۱۸	۰,۰۳	-	۰,۳۹	-	-	-	۰,۰۱	-	۰,۰۲	-
Sum	۱۱,۱۴	۱۱,۰۵	۱۱	۱۱	۱۰,۶۴	۱۱	۱۰,۷۹	۱۱,۰۲	۱۰,۸۴	۱۰,۷۷	۱۰,۷۱	۱۱	۱۰,۹۰
Fe _(Fe+Mg)	۰,۰۱	۰,۷۴	۰,۰۵	۰,۴۴	۰,۴۹	۰,۰۲	۰,۰۵	۰,۴۹	۰,۰۸	۰,۰۵	۰,۰۶	۰,۰۶	۰,۰۵
Mg _(Mg+Fe)	۰,۰۵	۰,۰۳	۰,۰۵	۰,۰۵	۰,۰۱	۰,۰۸	۰,۰۵	۰,۰۲	۰,۰۲	۰,۰۴	۰,۰۶	۰,۰۴	۰,۰۵
Actvities													
Crd	۰,۲۷	۰,۳	۰,۲۸	۰,۲۳	۰,۲۹	۰,۲۵	۰,۲۳	۰,۲۹	۰,۲	۰,۲۲	۰,۲۲	۰,۲۱	۰,۲۳
ferd	۰,۲۸	۰,۲۵	۰,۲۷	۰,۲۲	۰,۲۶	۰,۲۹	۰,۲۲	۰,۲۶	۰,۳۵	۰,۳۳	۰,۳۳	۰,۳۴	۰,۳۲
mnerd	-	-	-	-	-	-	-	-	-	-	-	-	-

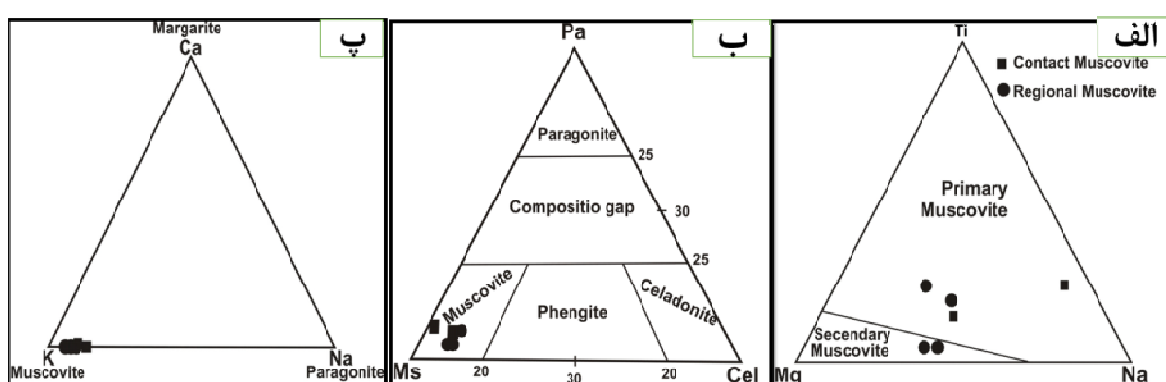
دگرگونی ناحیه‌ای در سوق دادن ترکیب بیوتیت‌ها به سمت فلوگوپیت بی‌تأثیر نموده است.

مسکوویت: مسکوویت در نمونه دستی قابل مشاهده نیست، اما در زیر میکروسکوپ به صورت بی‌رنگ و بدون چند رنگی، نیمه شکل دار تا شکل دار دیده می‌شود. با توجه به شکل ۵ ب عمدتاً ترکیب میکای سفید موجود در منطقه، بیشتر مسکوویت و عضو نهایی سلادونیت-مسکوویت است. ترکیب مسکوویت از طریق جانشینی چرم‌ماک ($Mg = Al_{1.1}Al$) به سمت سلادونیت تغییر می‌کند [۱۵]. برای تعیین نوع مسکوویت‌ها از نمودارهای سه تابی ارائه شده در مرجع [۱۶] استفاده شد. شکل ۶ الف نشان می‌دهد که مسکوویت‌های دگرگونی مجاورتی ثانویه هستند. با توجه به شکل ۶ ب، میکاها به سمت قطب پاتاسیم‌دار گراییش دارند [۱۷]. با توجه به نمودار سه تابی پاراگونیت-مسکوویت-سلادونیت، نیز ترکیب میکاها از نوع مسکوویت است [۱۸].

ترکیب بیوتیت‌ها بر اساس رده‌بندی مرجع [۱۴] در محدوده فلوگوپیت تا آنیت قرار می‌گیرند (شکل ۵ الف). مقدار Al از $1/52$ تا $1/41$ و $1/38$ تا $1/83$ به ترتیب در بیوتیت‌های دگرگونی ناحیه‌ای و مجاورتی متغیر است (جدول ۱). این بدین معنی است که در بیوتیت‌های دگرگونی ناحیه‌ای جانشینی Al به جای Si بیشتر صورت گرفته است، همچنین مقدار Fe در بیوتیت‌های ناحیه‌ای مجاورتی است، با کم شدن Fe از بیوتیت‌های دگرگونی‌های مجاورتی است. با کم شدن Fe از $Mg = Fe^{2+}$ در جایگاه با همارایی هشت‌وجهی (M_1-M_2) ترکیب فلوگوپیت افزوده شده است. یعنی جانشینی قابل توجه $Mg = Fe^{2+}$ در جایگاه با آنیت تغییر می‌دهد (شکل ۵ الف). از انجاییکه در مجاورت منطقه مورد بررسی ذخایر آهن به صورت رگه‌ای و یا کمی دورتر به شکل توده‌ای (ذخیره آهن گلالی) تشکیل شده است به احتمال زیاد وجود آهن فراوانتر در محل پیدایش سنگ‌های



شکل ۵ (الف) تقسیم بندی بیوتیت‌های منطقه بر اساس ترکیب شیمیایی [۱۴] (ب) ترکیب شیمیایی مسکوویت [۱۵] (Ms: مسکوویت، Cel: سلادونیت، Prl: پیروفیلیت، Tk: جانشینی چرم‌ماکیتی، P: جانشینی پیروفیلیتی).



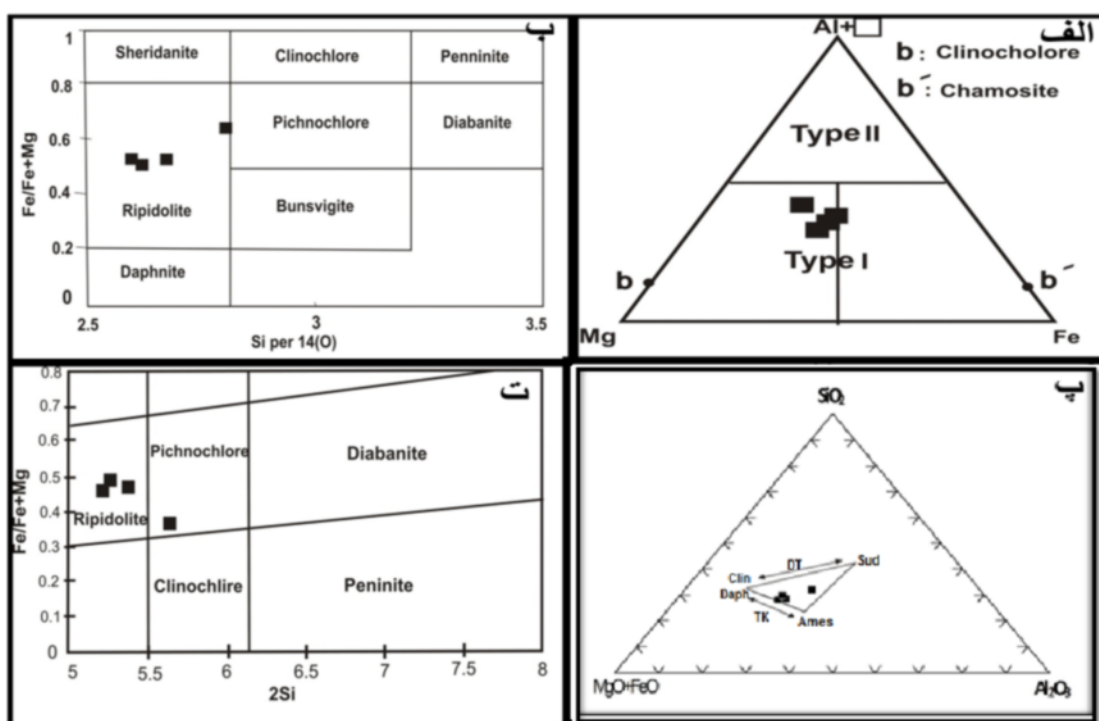
شکل ۶ (الف) موقعیت ترکیب شیمیایی میکاها در نمودار مرجع [۱۶]. (ب) موقعیت ترکیب شیمیایی میکاها در نمودار مرجع [۱۷]. (پ) ترکیب میکاها در نمودار مثلثی پاراگونیت-مسکوویت-سلادونیت [۱۸].

دارند. مقایسه داده‌های تجزیه نقطه‌ای این کانی بیانگر آن است که تغییر چندانی در ترکیب شیمیایی آنها حاصل نشده است. به علاوه کلریت‌ها از طریق جانشینی از عضو نهایی کلینوکلر به سمت عضو نهایی دافنیت متغیرند. ترکیب کلینوکلر از طریق جانشینی چرمک به سمت آمسیت تغییر می‌کند (شکل ۷ پ).

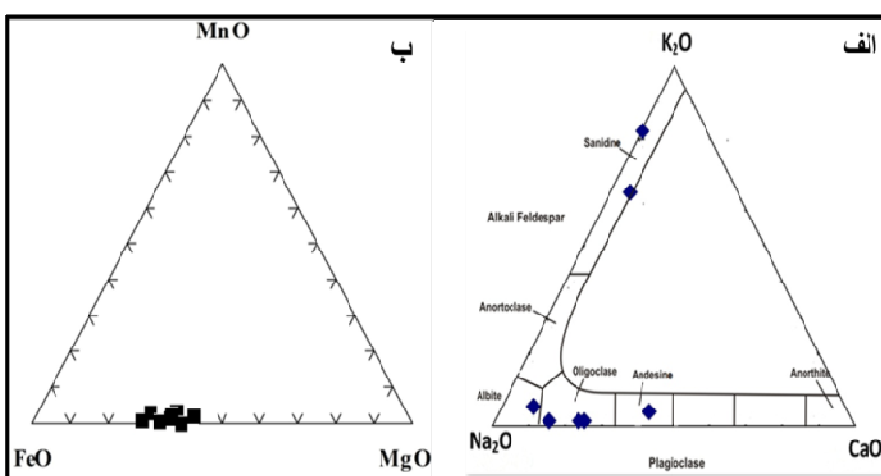
فلدسپارها: ترکیب بیشتر فلدسپارهای قلیایی رایج را می‌توان توسط سیستم KAlSi_3O_8 (ارتوكلاز Or)، $\text{CaAlSi}_3\text{O}_8$ (آنورتیت An) نشان داد [۱۴]. (آلیت، Ab)، $\text{NaAlSi}_3\text{O}_8$ ساختار فلدسپار همانند ساختار چند ریخت‌های گوناگون SiO_2 و همچنین AlO_4 از شبکه نامتناهی چاروجهی‌های SiO_2 و همچنین SiO_2 تشکیل شده‌است که می‌توان حالت پرشده ساختارهای SiO_2 را به وسیله ورود Al به شبکه چاروجهی و همزمان با آن جایگیری Na^+ (یا K^+ یا Ca^{2+}) در حفره‌های موجود در نظر گرفت. نتایج تجزیه نقطه‌ای فلدسپارهای موجود در اسلیت‌های لکه‌دار در جدول ۳ دیده می‌شود. در شکل ۸ الف دیده می‌شود که ترکیب پلاژیوکلازهای مورد بررسی در اسلیت‌های لکه‌دار منطقه از آلیت تا آندزین متغیر است. همچنین ترکیب فلدسپارهای قلیایی آن در گستره ۷۰ تا ۸۰ درصد ارتوكلاز قرار دارد. ولی از ترکیب فلدسپارهای سنگ‌های دگرگونی ناحیه‌ای نمونه‌ای تجزیه نشد و داده‌ای در اختیار نیست.

کلریت: فرمول عمومی کلریت را می‌توان به صورت $\text{A}_{5-6}\text{Z}_4\text{O}_{10}(\text{OH})_8$ در نظر گرفت که در آن A به جای Fe^{3+} , Al , Si و Z به جای Mn, Mg, Li, Fe^{2+} , Al است [۱۴]. در ساختار کلریت، بین کاتیون Al^{3+} با کاتیون Si^{4+} از یک طرف و بین کاتیون Al^{3+} با کاتیون‌های Fe^{3+} و Mg^{2+} از طرف دیگر جانشینی گسترده‌ای روی می‌دهد. به گونه‌ای که می‌تواند در دو جایگاه چاروجهی و هشتوجهی وارد شود. در جایگاه چاروجهی، Al جانشین Si می‌شود و از این رو افزایش مقدار Al در این جایگاه، با کاهش مقدار همراه خواهد بود. اعضای مختلف گروه کلریت از نظر مقدار جانشینی و چگونگی روی هم چینی لایه‌های متوالی هشتوجهی و چاروجهی در امتداد محور c، با هم تفاوت دارند.

به منظور بررسی ترکیب شیمیایی بلورهای کلریت، چند نمونه از این بلورها مورد تجزیه شیمیایی نقطه‌ای قرار گرفتند. بنابر نمودار مثلثی شکل ۷ الف [۱۹] کلریت‌ها از نوع یک (type I) و منیزیم‌دار هستند. همچنین با توجه به نمودارهای دوتایی در شکل‌های ۷ ب و ت [۲۱، ۲۰] کلریت‌های منطقه از نوع ریبدولیت هستند. بررسی نتایج تجزیه شیمیایی کلریت‌ها در نمودار سه تایی SiO_2 - FeO - MgO - Al_2O_3 [۱۵] نشان دهد که همه آنها در محدوده بین آمسیت و دافنیت قرار



شکل ۷ (الف) تعیین نوع کلریت بر اساس مرجع [۱۹] (ب) نمودار رده‌بندی کلریت‌ها [۲۰] (پ) نمودار رده‌بندی کلریت‌ها نشان‌دهنده جانشینی در کلریت‌ها [۱۵] (ت) طبقه‌بندی کلریت‌ها نشان داده می‌دهد که آنها از نوع ریبدولیت هستند [۲۱]. Clin: کلینوکلر، Daph: دافنیت، Ames: آمسیت، Sud: سودوئیت، TK: جانشینی دوشه هشتوجهی، DT: جانشینی چرمکیتی.



شکل ۸ (الف) تقسیم‌بندی فلدسپات‌های قلیایی و پلازیوکلازهای منطقه در یک نمونه اسلیت لکه‌دار (ب) ترکیب شیمیایی کردیریت‌های تجزیه شده در نمودار سه‌تایی (MnO, MgO, FeO)، که نشان می‌دهد که نمونه‌های مورد بررسی از نوع کردیریت‌های بیشتر آهن‌دار هستند.

می‌شود که نمونه‌های مورد نظر جایی بر روی این منحنی به تعادل رسیده‌اند. اگر دو یا چند منحنی ناشی از دما- فشارسنجی واکنش‌های متفاوت حاصل شود، محل تقاطع آن‌ها نشانگر دما و فشار تعادلی خواهد بود [۲۳]. برای برآورده شرایط ترمودینامیکی سنگ‌های دگرگونی از نرم‌افزار TERMO CALC و همچنین واسنجی‌های خطی استفاده شد.

دما - فشار سنجی مرحله دگرگونی ناحیه‌ای M1

در این مرحله دما - فشار دگرگونی ناحیه‌ای منطقه، مورد بررسی قرار گرفت. فازهای موجود در نخستین دگرگونی شامل بیوپتیت، مسکوپیت، کلریت، پلازیوکلاز، کوارتز و آب هستند. ابتدا با کمک داده‌های تجزیه‌های شیمیایی و با نرم افزار AX سازنده‌های فازی موجود و نیز فعالیت آن‌ها محاسبه شد. سپس با استفاده از نرم‌افزار TERMO CALC دما - فشار سنجی صورت گرفت. نتایج حاصل از محاسبات نشان می‌دهد که مجموعه مورد بررسی در دمای متوسط $539 \pm 81^\circ\text{C}$ و فشار متوسط $3.9 \pm 2.7 \text{ kbar}$ پایدار است.

دما - فشار سنجی مرحله دگرگونی مجاورتی M2

دگرگونی مجاورتی منطقه زرینه بر اثر نفوذ توده گرانیت‌ئیدی به درون سنگ‌های حاصل از دگرگونی ناحیه‌ای، به وجود آمده‌اند. ظهور بلاستهای کردیریت در اسلیت‌ها (اسلیت‌های لکه‌دار) و همچنین تشکیل کردیریت هورنفلس‌ها و میکا‌هورنفلس‌ها نتیجه مستقیم شرایط یاد شده است. یکی از بارزترین شاخصه‌های دگرگونی M2 ظهور پورفیروبلاستهای کردیریت است. در این پژوهش دما - فشار سنجی این مرحله

کردیریت: کردیریت که به وفور در هورنفلس‌های منطقه زرینه دیده می‌شود، دارای فرمول شیمیایی $(\text{Fe}, \text{Mg})_2\text{Al}_3(\text{Si}_5\text{O}_{18})_{n\text{H}_2\text{O}}$ است. هرچند در ترکیب کردیریت معمولاً مقداری از Mg به وسیله Fe^{2+} و Mn جانشین می‌شود، اما بیشتر نمونه‌ها سرشار از آهن هستند و مقدار قابل توجه، اما متغیری از H_2O را در ساختار خود نشان می‌دهند که احتمالاً در مجراهای بزرگ موازی محور C قرار دارند و مقدار کمی Na و K نیز به همین ترتیب به مجراهای وارد می‌شوند. کردیریت‌های دگرگونی معمولاً نسبت اتمی $\text{Fe}/(\text{Fe} + \text{Mg})$ پایین‌تر از ۰/۶ دارند [۲۲] و این نسبت در بلورهای کردیریت منطقه کمتر از ۰/۶ است. در کردیریت‌های موجود در سنگ‌های منطقه مقدار SiO_2 $(32.48 - 26.81)$ ، مقدار FeO $(57.26 - 47.97)$ و مقدار Al_2O_3 $(12.33 - 6.98)$ درصد است. همچنین ترکیب شیمیایی کردیریت‌های تجزیه شده در نمودار سه‌تایی MnO-MgO-FeO (شکل ۸ ب) نزدیکی ترکیب را به قطب آهن‌دار نشان می‌دهد.

برداشت

زمین دما - فشار سنجی دو دگرگونی منطقه مورد بررسی با توجه به ویژگی‌های سنگ‌نگاری و ارتباط صحرایی سنگ‌ها و نیز داده‌های شیمی کانی‌ها تعیین شد.

یکی از اهداف مهم سنگ‌شناسی دگرگونی، برآورده دما و فشار تشکیل سنگ، یا تعیین شرایط ترمودینامیکی تشکیل آنهاست. با توجه به نتایج حاصل از محاسبات دما - فشار سنجی، منحنی یک متغیره در نمودار دما - فشار ترسیم

مراجع

- [۱] نبوی م، "دیباچه‌ای بر زمین‌شناسی ایران"، سازمان زمین‌شناسی کشور، (۱۳۵۵)، ۱۰۹ صفحه
- [۲] حسینی م، "شرح نقشه زمین‌شناسی ۱:۱۰۰۰۰۰ چهارگوش قروه". سازمان زمین‌شناسی کشور، (۱۳۷۶).
- [۳] افتخارنژاد ج. "تفکیک بخش‌های مختلف ایران از نظر وضع ساختمانی در ارتباط با حوضه‌های رسویی"، نشریه انجمن نفت، (۱۳۵۹)، ۱۸-۲۹.
- [۴] حلمی ف.، حسینی م، "ویژگی‌هایی دگرگونی دینامیک و زمین‌شناسی گستره قروه"، سازمان زمین‌شناسی و اکتشافات معدنی کشور، تهران، (۱۳۷۶)، ۹۹ صفحه.
- [۵] ترکیان ا.، "ویژگی‌های بافتی و شیمی کانی در مجموعه پلتونیک قروه (کردستان): شواهدی بر پدیده امیختگی/اختلاط ماقمایی"، مجله بلور‌شناسی و کانی‌شناسی ایران، سال ۲۰، شماره ۲، (۱۳۹۱)، ۳۴۲-۳۳۱.
- [۶] Mahmoudi S., Corfu F., Masoudi F., Mehrabi B., Mohajjal M., "U-Pb dating and emplacement history of granitoid plutons in the northern Sanandaj-Sirjan zone, Iran". Journal of Asian Earth Sciences 41(2), (2011) 238-249.
- [۷] Yardley B.W.D., "An Introduction to Metamorphic Petrology", Longman Earth Science Series, Binding, (1989) 551-570.
- [۸] حریری ع.، "نگرشی بر خاستگاه گروهی از سنگ‌های دگرگونه گستره قروه"، پایان نامه کارشناسی ارشد، دانشگاه شهری بهشتی تهران، (۱۳۷۴)، ۱۶۱ صفحه.
- [۹] Putnis A., Holland T. J. B., "Sector trilling in cordierite and equilibrium overstepping in metamorphism", Contributions to Mineralogy and Petrology 9 (1986) 265-72.
- [۱۰] Hyndman D.W., "Petrology of igneous and metamorphic rocks", McGraw-Hill Book, New York, (1985) 786.
- [۱۱] Pattison D.R.M., Spear F. S., Cheney J. T., "Polymetamorphic origin of muscovite+cordierite+staurolite + biotite assemblages: implications for the metapelitic petrogenetic grid and for P-T paths", Journal of metamorphic geology, 17, (1999) 685-703.
- [۱۲] Kitamura M., Yamada H., "Indialite from Unazuki pelitic schist, Japan, and its transition texture to cordierite", Contributions to Mineralogy and Petrology 8, (1982) 110-16.
- [۱۳] Klein C., Hurlbut C. S., "Manual of mineralogy", John Wiley and Sons, (1999) 165.

دگرگونی به سه روش انجام شد. روش اول استفاده از نرم افزار ترموکالک است، فازهای موجود در مرحله دگرگونی مجاورتی M2 عبارتند از: کردیریت، کلریت، بیوتیت، مسکویت، کوارتز و آب. محاسبات انجام شده با نرم‌افزار ترموکالک با در نظر گرفتن فعالیت یک برای اعضای نهایی، ۱۵۰ واکنش برای این مرحله دگرگونی بدست می‌دهد. از این تعداد، حدود ۵۰ واکنش پایدار بوده و دارای ۱۴ نقطه تقاطع هستند. در مجموع با توجه به نمودارهای مربوط (که در اینجا ارائه نشده‌اند) میانگین فشار در دگرگونی مجاورتی M2 kbar ۴/۳ و میانگین دما حدوداً ۶۰/۷ °C است در روش واستجی [۲۴] نتیجه داده‌های میانگین تجزیه‌های نقطه‌ای بیوتیت و مسکویت‌های این مرحله و گرماسنجی با استفاده از تعادل این کانی‌ها، مقدار فشار سوم از تعادل زوج مسکویت-کلریت استفاده شد، زیرا بررسی‌های آزمایشگاهی نشان داده‌اند که این دو کانی در شرایط متفاوت فشار - دما پایدار بوده و به تغییرات آنها حساسند [۲۷-۲۵]. بنابراین تعادل کلریت و مسکویت پتانسیل خوبی برای بررسی‌های ترمودینامیکی است. فشارهای دگرگونی معمولاً براساس درصد Si موجود در مسکویت و دمای دگرگونی براساس مقدار Al^{IV} تعیین می‌شود [۲۹-۲۸]، اما از تعادل همزمان هر دو کانی به طور توامان برای دما-فشارسنجی استفاده می‌شود. [۱۵] روشی ترمودینامیکی پیشنهاد نمود که برای برآورد دما-فشارسنجی در مرحله M2 به کار گرفته می‌شود. نتایج داده‌های تجزیه نقطه‌ای مسکویت و کلریت سنگ‌های مورد بررسی نشان می‌دهد که آن‌ها در فشار ۳/۶Kbar و دمایی معادل ۶۲۰ °C تشکیل شده‌اند.

در مجموع از مقایسه نتایج به دست امده از روش‌های مختلف برای سنگ‌های دگرگونی ناحیه‌ای و مجاورتی منطقه نتیجه می‌شود که دمای به دست آمده برای هر دو نوع سنگ یادشده منطقی و معقول است و لیکن فشار برای نمونه‌های دگرگونی مجاورتی بایستی کمتر از میزان کنونی به دست آمده باشد. با توجه به موقعیت زمین‌شناسی منطقه مورد بررسی و نیز مشهود بودن اثار فعالیت‌های زمین‌ساختی از جمله فراوانی گسل‌ها، کاتاکلازیتی و میلدونیتی شدگی (وجود شواهدی مسلم از مناطق برشی) [۴] شاید بتوان گفت که بالا بودن مقدار فشار در سنگ‌های دگرگونی مجاورتی متاثر از سازوکار جایگزینی توده نفوذی گرانیتی‌ئیدی است.

- Semail ophiolite from the Salahi Block (Oman)",* In: Peters, T.J. (Eds.), *Ophiolite genesis and evolution in the oceanic lithosphere*, (1991) 313-351.
- [۲۲] بدرزاده ز؛ "پترولوژی دگرگونه های منطقه سرابی-توبیسرکان با تاکید ویژه بر ماهیت دگرگونه های درجه بسیار بالا، پایان نامه کارشناسی ارشد، پژوهشکده علوم زمین، (۱۳۷۸).
- [۲۳] ایزدیار ج، "مبانی ترمودینامیکی پترولوژی دگرگونی"، انتشارات دانشگاه زنجان، (۱۳۸۷)، ۲۰۴ صفحه.
- [24] Hoisch Thomas D., "A Muscovite – Biotite geothermometer", *American Mineralogist*, 74, (1989), 565-572.
- [25] Masson H.J., "The upper thermal stability of chlorite + quartz: an experimental study in the system MgO - Al_2O_3 - SiO_2 - H_2O ", *Journal of metamorphic Geology*, 7, (1989), 567-581.
- [26] Schreyer W, Yoder H. S., "The System Mg-Cordierite - H_2O and related rocks", *Neues Jahrb. Mineral. Abh* 3 (1982), 371- 342.
- [28] Caithelineau M., Nieva D., "A Chlorite Solid Solution geothermometer, the Los Azufres (Mexico) geothermal system", *Contributions to Mineralogy and petrology*, 91, (1985), 235-244.
- [29] Decartit P., Hutcheon I., Walshe J.L., "Chlorite geothermometry: a review", *Clay and Clay minerals*, 41, (1993), 219-239.
- [14] Deer W. A., Howie R. A., Zussman J., "An introduction to the rock-forming minerals", Longman Scientific & Technical, Harlow, England, (1992) 692.
- [15] Vidal O., Parra T., "Exhumation paths of high-pressure metapelites obtained from local equilibria for chlorite-phengite assemblages", *Geological journal* 35 (314), (2000) 139-161.
- [16] Feenstra A., "An EMP and TEM-AEM study of margarite, muscovite and paragonite in polymetamorphic metabauxites of Naxos (Cyclades, Greece) and the implications of fine-scale mica interlayering and multiple mica generations", *Journal of Petrology* 37(1996) 201-233.
- [17] Miller C.F., Stoddard E.F., Bradfish L.J., Dollase W.A., "Composition of plutonic muscovite: genetic implication", *The Canadian Mineralogist* 19 (1381) 25-34.
- [18] Schliestedt M., "Phasengleichgewichte in Hoch druckgesteinen von Sifnos, Griechen land", Ph.D. Thesis, Technical University Braunschweig, Germany, (1980) 142.
- [19] Bailey S. W., "Summary of recommendations of AIPEA Nomenclature Committee", *Clays and Clay Minerals*, 15 (1980) 85-93.
- [20] Hey M.H., "A new review of the chlorites", *mineralogical Magazine* 30 (1954) 277-292.
- [21] Pflumio C., "Evidences for polyphased oceanic alteration of the extrusive sequence of the